Predizione delle emissioni di metano nella bovina da latte: il Progetto FAME per una genetica a supporto dell'allevatore

<u>Prof. Massimo De Marchi</u> – Dott.ssa Silvia Magro Dipartimento Agronomia, Animali, Alimenti, Risorse naturali e Ambiente, Università di Padova







Fig. 8.4.1 Sustainability pillars.

SUSTAINABLE GALS DEVELOPMENT GALS





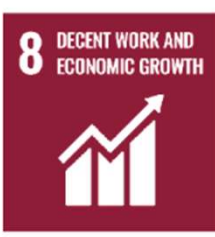


































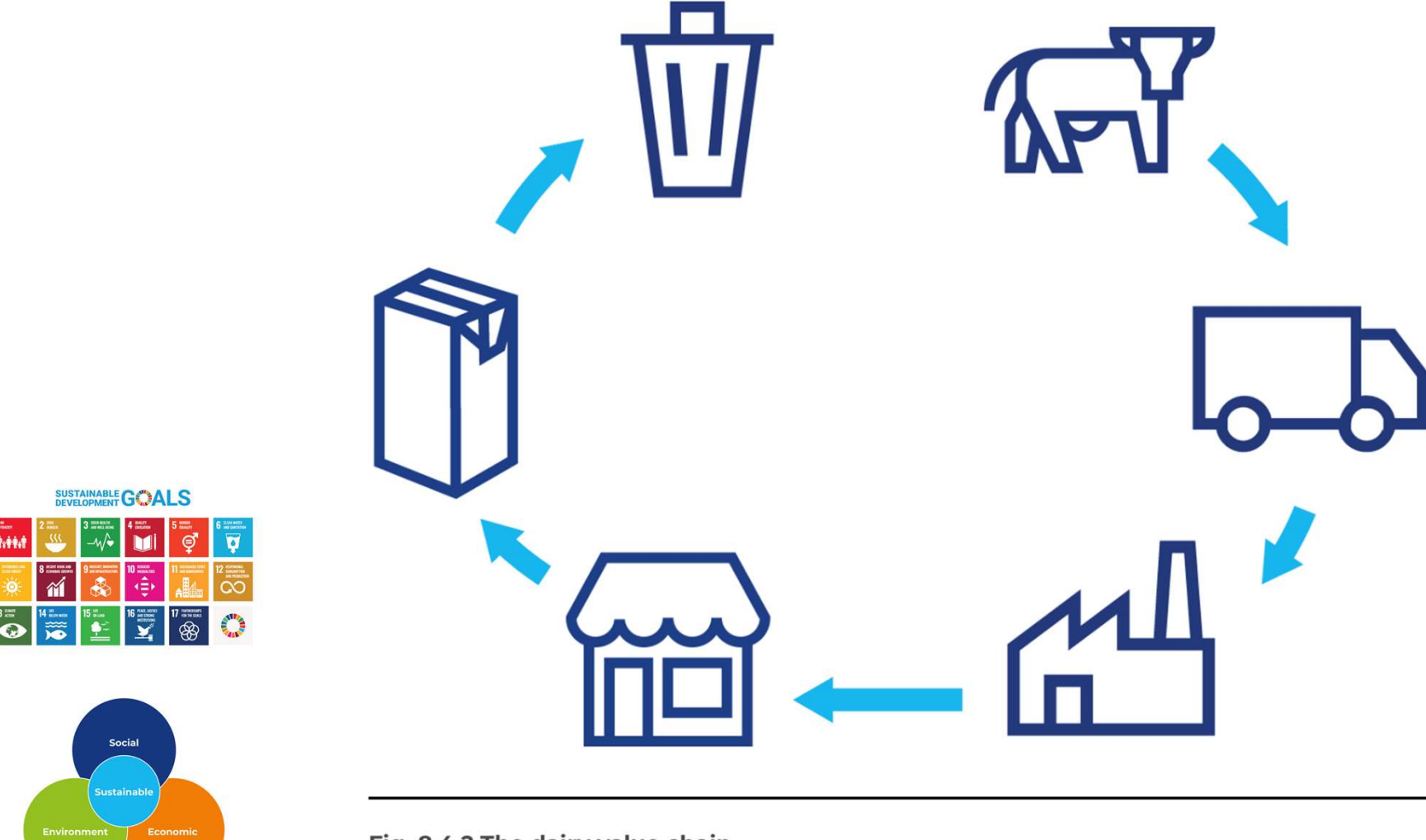
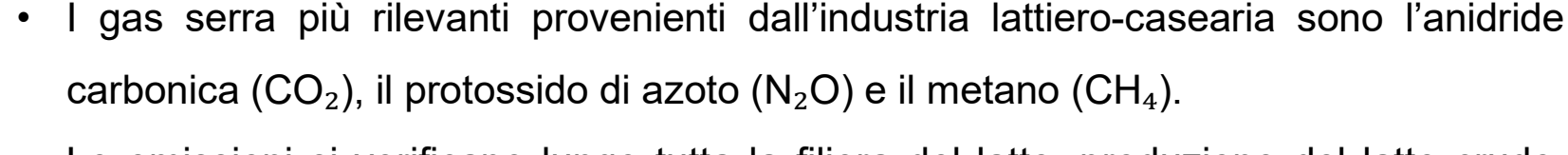


Fig. 8.4.2 The dairy value chain.



- Le emissioni si verificano lungo tutta la filiera del latte: produzione del latte crudo, trasporto, trasformazione e confezionamento, distribuzione dei prodotti, consumo e smaltimento rifiuti.
- Il maggiore contributo alle emissioni di gas serra avviene in azienda agricola durante la produzione del latte, questo dovuto all'attività ruminale delle vacche (CH4).













- I gas serra più rilevanti provenienti dall'industria lattiero-casearia sono l'anidride carbonica (CO₂), il protossido di azoto (N₂O) e il metano (CH₄).
- Le emissioni si verificano lungo tutta la filiera del latte: produzione del latte crudo, trasporto, trasformazione e confezionamento, distribuzione dei prodotti, consumo e smaltimento rifiuti.
- Il maggiore contributo alle emissioni di gas serra avviene in azienda agricola durante la produzione del latte, questo dovuto all'attività ruminale delle vacche (CH4).

ISPRA, emissioni: calano in agricoltura

Scritto da Anna Simone / 08 Lug 2024

Nuovo report ISPRA sulle emissioni in Italia: dal 1990 le emissioni inquinanti si sono ridotte del 21%. Dati più che positivi arrivano dal comparto agricolo, negativi da quello dei trasporti.

Da nord a sud della nostra penisola <u>l'agricoltura contribuisce a circa il 7,4% delle emissioni totali di gas serra e nel 2022 si è</u> registrato un calo di queste emissioni del -18,9% dal 1990. I dati emergono dall'ultimo rapporto "Le emissioni di gas serra in Italia.

Obiettivi di riduzione al 2030" firmato dall''Istituto superiore per la protezione e la ricerca ambientale (Ispra). A emettere di più non è il comparto agricolo, come spesso erroneamente si ritiene, ma quello dei trasporti.







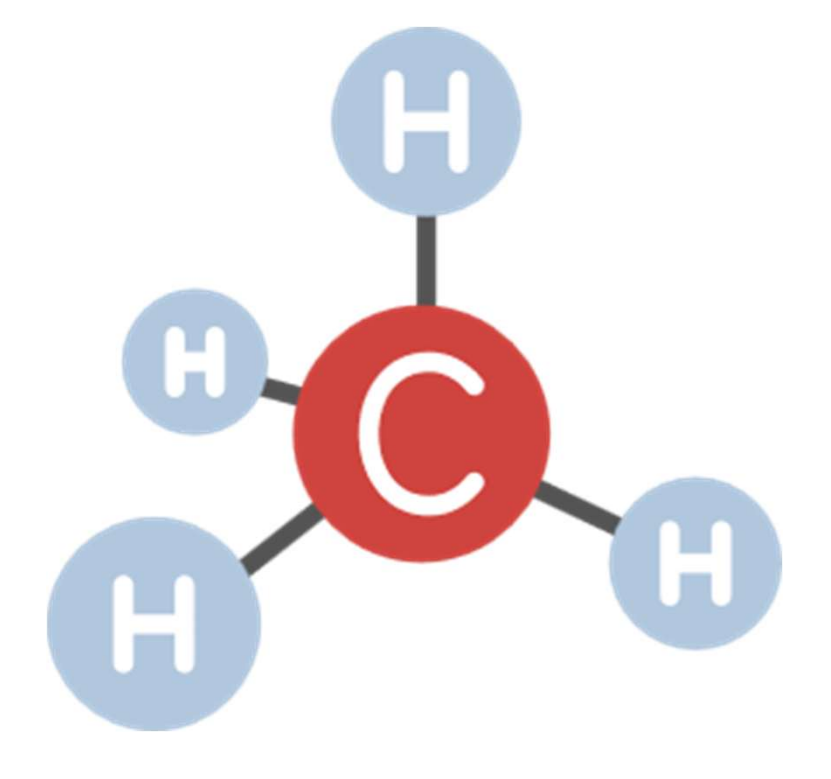




 CH_4

Idrocarburo molto presente in natura

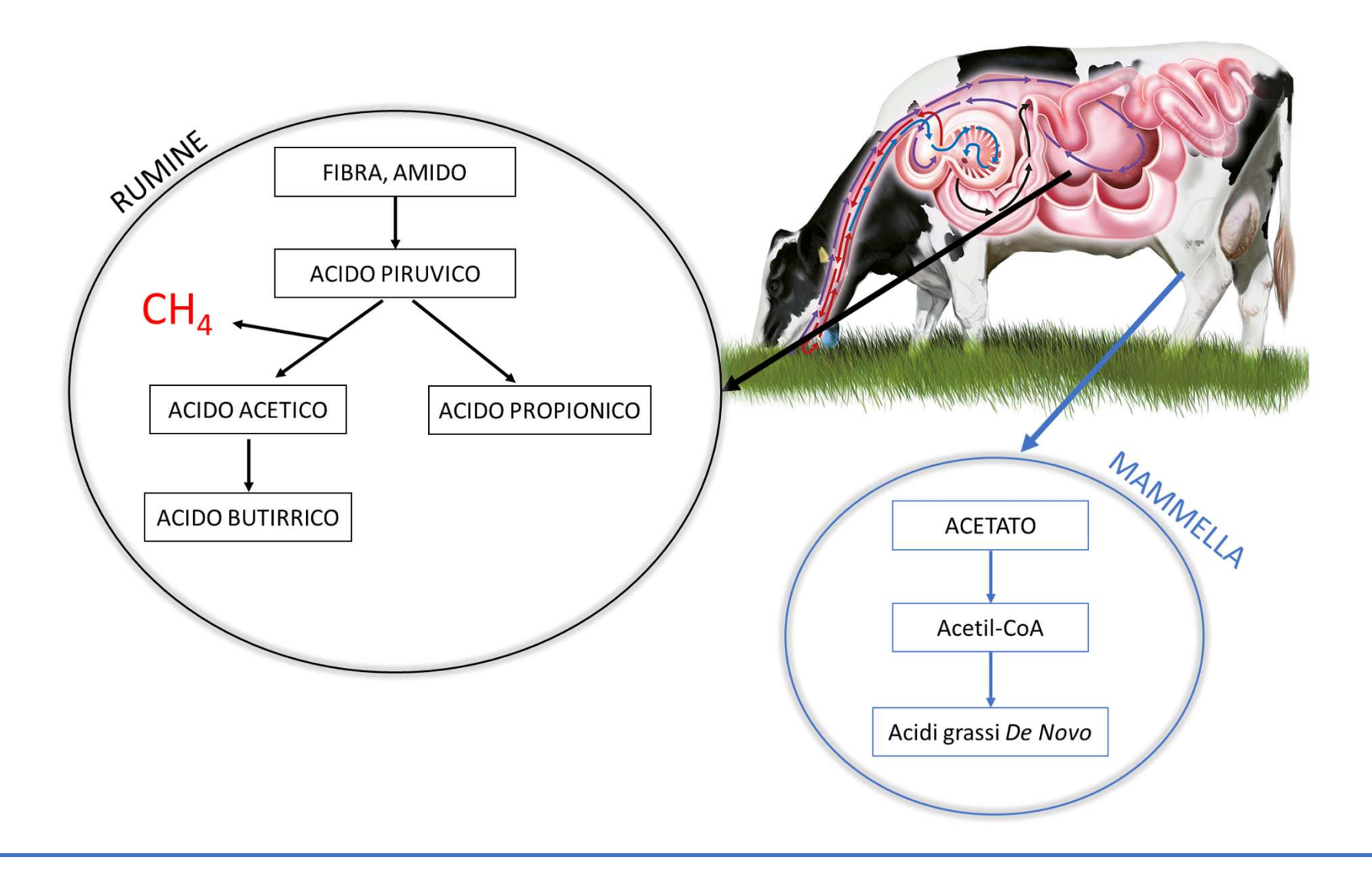
A temperatura ambiente è un GAS incolore e inodore





Partecipa all'effetto serra

Prof. Massimo De Marchi – massimo.demarchi@unipd.it – Bressanvido (VI), 11 Ottobre 2025



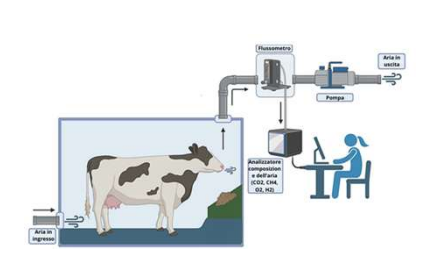
Prof. Massimo De Marchi – massimo.demarchi@unipd.it – Bressanvido (VI), 11 Ottobre 2025

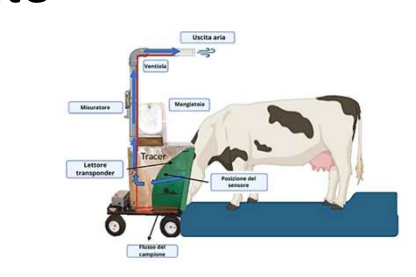
Come misuriamo il Metano?

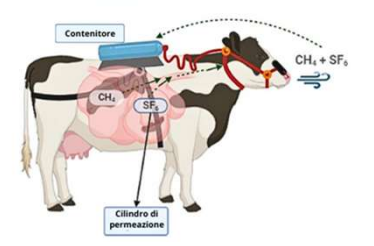
Metodi diretti

- Camera di respirazione
- Esafluoruro di zolfo tracciante (SF6)
- Green Feed
- Anidride carbonica tracciante

Rilevatore laser







Metodi indiretti o predittivi

- Equazioni di stima
- Infrarosso



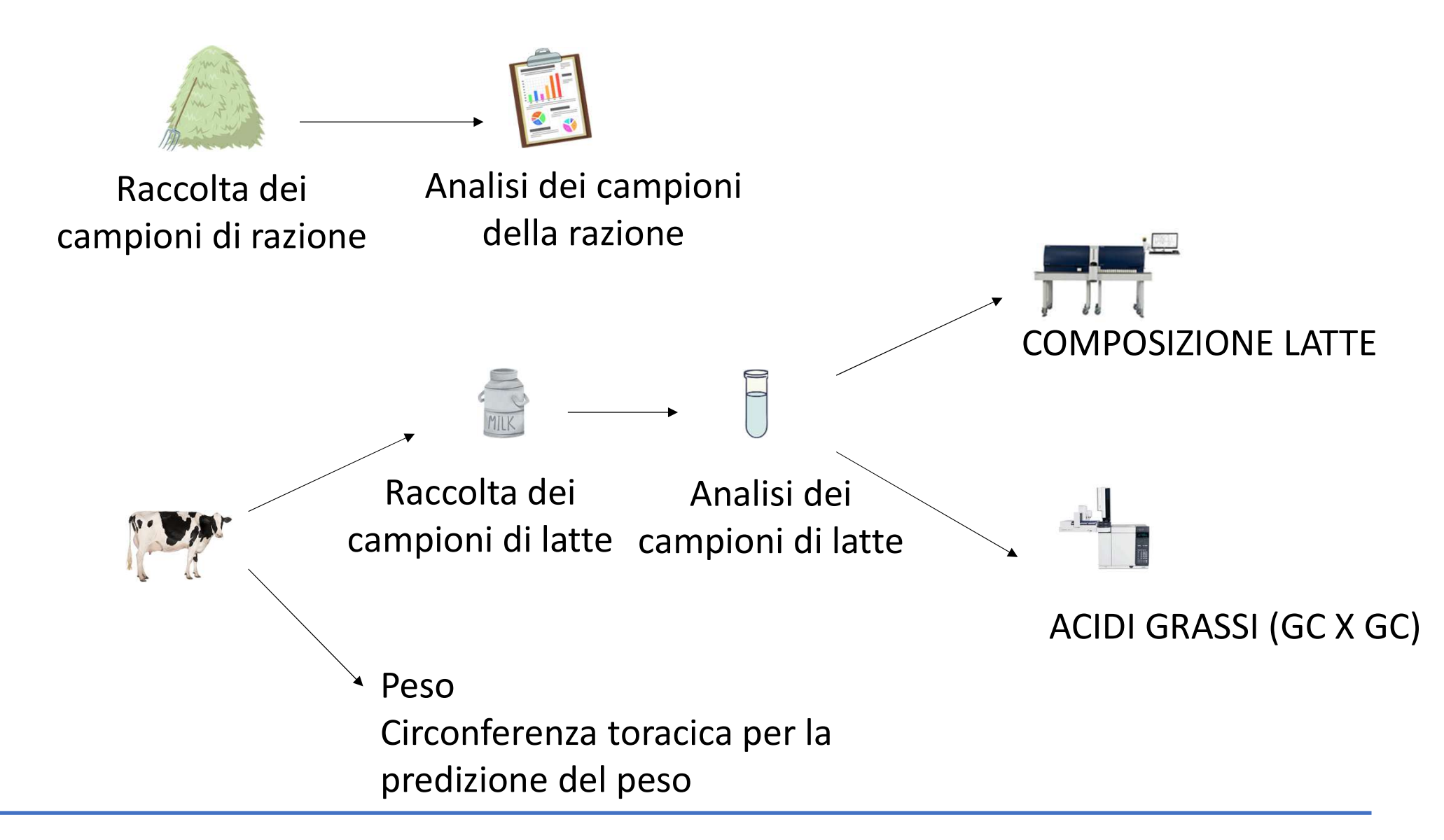
Progetto FAME (Milk Fatty Acids and Methane Emission) Attività Aggiuntive al programma C.F. 2024 Prof. Massimo De Marchi – massimo.demarchi@unipd.it – Bressanvido (VI), 11 Ottobre 2025

Progetto FAME (Milk Fatty Acids and Methane Emission)

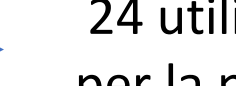
Attività Aggiuntive al programma C.F. 2024

Aprile 2024 Ottobre 2024 30 allevamenti 1.800 vacche Frisona 10 robot di mungitura Pezzata rossa 20 sala di mungitura Rendena

Prof. Massimo De Marchi – massimo.demarchi@unipd.it – Bressanvido (VI), 11 Ottobre 2025



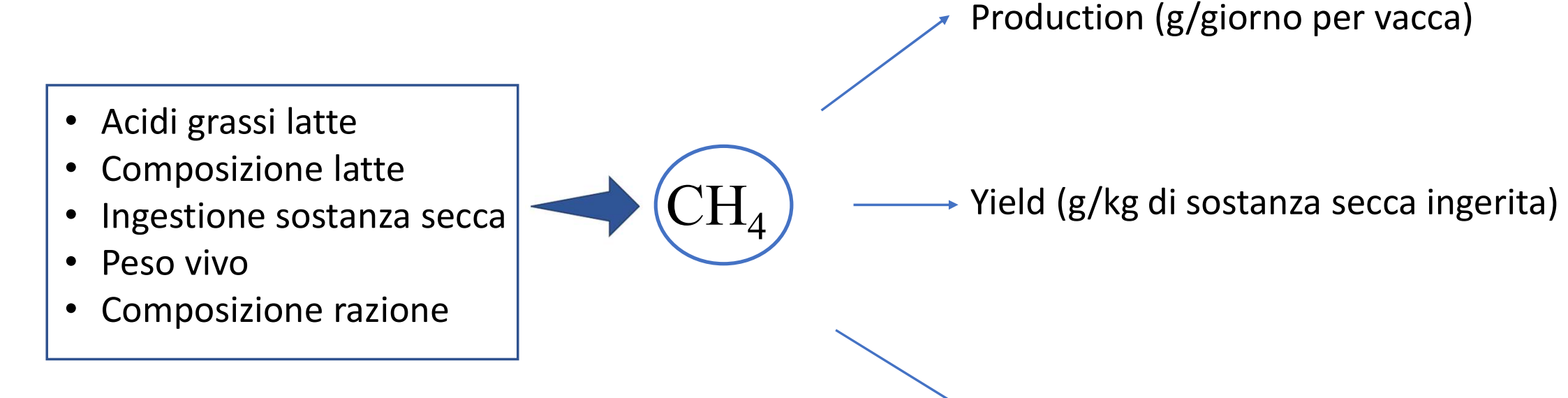
92 diverse tipologie di acidi grassi individuati



24 utilizzati nelle equazioni di stima per la predizione del metano

Acidi grassi, g/100g acidi grassi	Media	DS	Min	Max
C10:0	2.88	0.50	0.82	4.36
C15:0	1.15	0.27	0.43	3.15
anteiso C15:0	0.45	0.09	0.16	0.85
iso C15:0	0.21	0.06	0.02	0.46
C16:0	31.67	3.43	22.63	46.34
iso C16:0	0.25	0.09	0.01	0.58
C16:1 trans-9	0.05	0.02	0.00	0.30
C17:0	0.63	0.16	0.03	1.49
C17:0 anteiso	0.01	0.01	0.00	0.10
iso C17:0	0.35	0.06	0.18	0.59
C17:1 cis-9	0.22	0.07	0.10	0.63
C18:1 trans-15	0.41	0.18	0.00	1.00
C18:1 cis-11	0.58	0.22	0.00	1.55
C18:1 cis-13	0.07	0.04	0.00	0.40
C18:1 trans-10	0.49	0.42	0.09	4.77
C18:1 trans-11	0.92	0.29	0.32	2.50
C18:1 cis-15	0.10	0.03	0.00	0.25
C18:1 cis-9	19.21	2.88	0.00	31.87
C18:2 trans-11, cis-15	0.04	0.07	0.00	1.67
C18:2 cis-9, cis-12	2.43	0.59	0.03	4.36
C18:3n3 cis 9,12,15	0.34	0.11	0.01	0.83
C20:4n6 cis 5,8,11,14	0.16	0.03	0.00	0.36
C22:5n3`	0.07	0.02	0.00	0.38
C24:0	0.04	0.02	0.00	0.13

Prof. Massimo De Marchi – massimo.demarchi@unipd.it – Bressanvido (VI), 11 Ottobre 2025



Intensity (g/kg di latte)

Predicting enteric methane emission of dairy cows with milk Fourier-transform infrared spectra and gas chromatography-based milk fatty acid profiles

S. van Gastelen,*†¹ H. Mollenhorst,‡² E. C. Antunes-Fernandes,*§³ K. A. Hettinga,§ G. G. van Burgsteden,‡⁴ J. Dijkstra,† and J. L. W. Rademaker‡⁵

*Top Institute Food and Nutrition, PO Box 557, 6700 AN Wageningen, the Netherlands
†Animal Nutrition Group, Wageningen University & Research, PO Box 338, 6700 AH Wageningen, the Netherlands
‡Qlip B.V., PO Box 119, 7200 AC Zutphen, the Netherlands
§Food Quality and Design Group, Wageningen University & Research, PO Box 17, 6700 AH Wageningen, the Netherlands

Individual milk fatty acids are potential predictors of enteric methane emissions from dairy cows fed a wide range of diets: Approach by meta-analysis

A. Bougouin,¹ J. A. D. Ranga Niroshan Appuhamy,² A. Ferlay,¹ E. Kebreab,³ C. Martin,¹ P. J. Moate,⁴ C. Benchaar,⁵ P. Lund,⁶ and M. Eugène¹*

¹Université Clermont Auvergne, INRA, VetAgro Sup, UMR Herbivores, 63122 Saint-Genès-Champanelle, France

Relationships between methane production and milk fatty acid profiles in dairy cattle

J. Dijkstra ^{a,*}, S.M. van Zijderveld ^b, J.A. Apajalahti ^c, A. Bannink ^d, W.J.J. Gerrits ^a, J.R. Newbold ^b, H.B. Perdok ^b, H. Berends ^a

- ^a Animal Nutrition Group, Wageningen University, P.O. Box 338, 6700 AH Wageningen, The Netherlands
- ^b Provimi Research Centre, Veilingweg 23, 5334 LD Velddriel, The Netherlands
- ^c Alimetrics, Koskelontie 19B, FI-02920 Espoo, Finland
- d Livestock Research, Animal Sciences Group, Wageningen University and Research Centre, Lelystad, The Netherlands

Meta-analysis of relationships between enteric methane yield and milk fatty acid profile in dairy cattle

H. J. van Lingen,*†1 L. A. Crompton,‡ W. H. Hendriks,†§ C. K. Reynolds,‡ and J. Dijkstra†

*TI Food and Nutrition, PO Box 557, 6700 AN Wageningen, the Netherlands

†Animal Nutrition Group, Wageningen University, PO Box 338, 6700 AH Wageningen, the Netherlands

‡Division of Food Production and Quality, School of Agriculture, Policy and Development, University of Reading, Reading RG6 6AR,

§Faculty of Veterinary Medicine, Utrecht University, PO Box 80.163, 3508 TD Utrecht, the Netherlands

²Department of Animal Science, Iowa State University, Ames 50011

³Department of Animal Science, Iowa State Offiversity, Arries 300 F1

⁴Agriculture Victoria Research, Ellinbank, Victoria 3821, Australia

⁵Agriculture and Agri-Food Canada, Sherbrooke Research and Development Centre, Sherbrooke, Quebec, Canada J1M 0C

⁶Department of Animal Science, Aarhus University, AU Foulum, DK-8830 Tjele, Denmark

Production (g/giorno per vacca)

Equation	Level	Prediction equation			
1	Milk composition	mposition 467.3 (± 49.24) + 26.7 × C10:0 (± 8.66) - 101.1 × [iso C17:0 + trans- C16:1] (± 47.34) - 122.8 × cis-11 C18:1 (± 23.48) - 37.3 × trans- 11,cis-15 C18:2 (± 9.76) (RMSE = 65.1; R ² = 0.84)			
2	Milk composition + intake	(RMSE = 05.1; R = 0.84) 219.1 (± 43.90) - 67.9 × [iso C17:0 + $tmns$ -9 C16:1] (± 39.28) - 85.1 × cis -11 C18:1 (± 21.40) - 10.9 × $tmns$ -10 C18:1 (± 3.63) - 37.9 × $tmns$ -11, cis -15 C18:2 (± 7.72) + 13.9 × DMI (± 1.39) (RMSE = 56.9; R ² = 0.89)			
3	Milk composition + intake + diet composition	(RMSE = 56.9; R = 0.89) $-85.4 \times i\infty$ C17:0 + $tmns$ -9 C16:1 (±36.69) $-70.3 \times cis$ -11 C18:1 (±19.43) $-11.2 \times tmns$ -10 C18:1 (±3.47) $-37.2 \times tmns$ -11, cis -15 C18:2 (±7.42) + 13.9 × DMI (±1.14) + 5.7 × NDF (±0.81) (RMSE = 53.9; R ² = 0.90)			
4	Milk composition + animal characteristics	$\begin{array}{l} \text{(RMSE = 53.3, R = 636)} \\ 198.5 \ (\pm 61.72) + 13,014.9 \times \text{C10:0} \ (\pm 8.40) - 101.6 \times [iso\ \text{C17:0} + trans-9\ \text{C16:1}] \ (\pm 45.92) - 145.4 \times cis-11\ \text{C18:1} \ (\pm 21.30) - 38.2 \times trans-11, cis-15\ \text{C18:2} \ (\pm 9.01) + 0.5 \times \text{BW} \ (\pm 0.07) \\ \text{(RMSE = 57.3; R}^2 = 0.88) \end{array}$			
5	Milk composition + intake + dairy performance	$\begin{array}{l} -54.9 \times cis11 \text{ C18:1 } (\pm 18.60) - 9.7 \times trans10 \text{ C18:1 } (\pm 3.58) - 37.1 \\ \times trans11, cis15 \text{ C18:2 } (\pm 6.63) + 15.7 \times \text{DMI } (\pm 1.05) + 31.2 \times \text{milk} \\ \text{fat } (\pm 5.48) \\ \text{(RMSE} = 57.3; \text{ R}^2 = 0.89) \end{array}$			
6	Milk composition + dairy performance	$\begin{array}{llllllllllllllllllllllllllllllllllll$			
7	Milk composition + dairy performance	$\begin{array}{l} 178.6 \; (\pm 57.13) + 22.7 \times \dot{C}10.0 \; (\pm 7.96) - 100.0 \times cis-11 \; C18:1 \\ (\pm 22.96) - 41.5 \times trans-11, cis-15 \; C18:2 \; (\pm 8.81) + 4.2 \times milk \; (\pm 0.77) \\ + \; 31.2 \times milk \; fat \; (\pm 7.96) \end{array}$			
8	Milk composition + intake + dairy performance + diet composition	(RMSE = 61.2; R ² = 86.3) $-165.2 \pm 76.42 + 15.6 \times C10:0 \pm 7.57 - 66.7 \times [iso\ C17:0 + tmns-9\ C16:1] \pm 38.81) - 63.4 \times cis-11\ C18:1 \pm 20.40) - 30.6 \times tmns-11, cis-15\ C18:2 \pm 8.00) + 13.2 \times DMI\ (\pm 1.36) + 24.3 \times milk\ fat\ (\pm 6.75) + 6.27 \times NDF\ (\pm 1.24)$ (RMSE = 52.6; R ² = 0.90)			
9	Milk composition + intake + diet composition + animal characteristics	(RMSE = 92.6; R = 0.90) $-127.55 \pm (643.07) - 90.4 \times [iso\ C17:0 + trans-9\ C16:1] \pm (36.82) - 108.0 \times cis-11\ C18:1 \pm (16.42) - 20.6 \times trans-11, cis-15\ C18:2 \pm 8.64) + 11.3 \times DMI \pm 1.28) + 6.6 \times NDF \pm 0.08) - 8.7 \times EE \pm 0.75) + 0.3 \times BW \pm 0.06)$ (RMSE = 46.6; R ² = 0.92)			
10	Milk composition + dairy performance + animal characteristics	$\begin{array}{l} -62.1 \times iso \ \text{C17:0} + trans-9 \ \text{C16:1} \ (\pm 39.31) - 132.2 \times cis\text{-}11 \ \text{C18:1} \\ (\pm 18.47) - 41.7 \times trans-11, cis\text{-}15 \ \text{C18:2} \ (\pm 7.70) + 4.4 \times \text{milk} \ (\pm 0.64) \\ + 27.0 \times \text{milk} \ \text{fat} \ (\pm 6.59) + 0.4 \times \text{BW} \ (\pm 0.05) \\ (\text{RMSE} = 52.8; \ R^2 = 0.90) \end{array}$			
11	Milk composition + dairy performance + diet composition + animal characteristics	C16:15 = $0.3.8$, $(1 - 0.39)$ = 0.30 (±17.71) = $0.3.5 \times [iso\ C17:0 + trans-9\ C16:1]$ (±39.33) = $0.19.2 \times cis-11\ C18:1$ (±19.47) = $0.3.5 \times trans-11$, $cis-15\ C18:2$ (±8.04) + $0.4 \times trans-11$, $0.4 \times $			

Yield (g/kg di sostanza secca ingerita)

Equation	Level	Prediction equation
12	Milk composition	21.0 (\pm 1.09) + 10.5 × iso C16:0 (\pm 2.32) - 2.7 × cis-11 C18:1 (\pm 0.54) - 0.8 × trans-10 C18:1 (\pm 0.13) - 1.1 × cis-9,cis-12 C18:2 (\pm 0.28) (RMSE = 2.8; R ² = 0.82)
13	Milk composition + diet composition	9.3 $(\pm 3.10) + 0.1 \times \text{C16:0} (\pm 0.05) + 6.0 \times \text{iso C16:0} (\pm 2.30) - 2.8 \times \text{cis-11 C18:1} (\pm 0.53) - 0.6 \times \text{tuns-10 C18:1} (\pm 0.13) - 1.0 \times \text{cis}$ 9, cis-12 C18:2 $(\pm 0.28) + 0.3 \times \text{NDF} (\pm 0.05) - 0.4 \times \text{EE} (\pm 0.14)$ (RMSE = 2.6; R ² = 0.85)
14	Milk composition + dairy performance + animal characteristics	$\begin{array}{l} 14.9~(\pm 2.29)~+~0.1~\times~C16:0~(\pm 0.04)~+~8.2~\times~iso~C16:0~(\pm 2.26)~-~\\ 2.7~\times~cis-11~C18:1~(\pm 0.50)~-~0.7~\times~trans-10~C18:1~(\pm 0.13)~-~0.9~\times~\\ cis-9,cis-12~C18:2~(\pm 0.27)~-~0.01~\times~BW~(\pm 0.003)~\\ (RMSE=2.5;~R^2=0.85) \end{array}$

Intensity (g/kg di latte)

Equation	Level	Prediction equation		
15	Milk composition	13.8 (±1.19) + 9.8 × iso C16:0 (±2.97) - 2.4 × cis-15 C18:1 (±0.88 - 0.4 × [trans-10+trans-11 C18:1] (±0.12) (RMSE = 2.9; R ² = 0.70)		
16	Milk composition + diet composition	17.0 (±1.42) + 5.5 × iso C16:0 (±2.60) - 0.9 × truns-10 C18:1 (±0.12) - 0.3 × EE (±0.11) - 0.1 × starch (±0.04) (RMSE = 3.0; R ² = 0.71)		
17	Milk composition + dairy performance	15.3 $(\pm 5.37) + 3.9 \times iso$ C16:0 $(\pm 2.40) - 0.5 \times$ [trans-10+trans-11 C18:1] $(\pm 0.09) + 1.9 \times$ milk fat $(\pm 0.30) + 2.2 \times$ milk protein $(\pm 0.69) - 3.2 \times$ milk lactose (± 0.88) (RMSE = 2.63; R ² = 0.77)		
18	Milk composition + animal characteristics	$4.6 \pm 2.56 \pm 0.13 \times C16:0 \pm 0.04 \pm 0.4 \times [trans-10+trans-11]$ $C18:11 \pm 0.11 \pm 0.10 \times ciss_{9,cis-12} \times C18:2 \pm 0.27 \pm 0.01 \times BW$ $(\pm 0.01) \pm 0.03 \times DIM \pm 0.003$ $(RMSE = 28: R^2 = 0.82)$		
19	Milk composition + diet composition + animal characteristics	$-5.2~(\pm 2.63) + 0.2 \times C16:0~(\pm 0.03) + 5.0 \times iso~C16:0~(\pm 2.28) - 0.7 \times trans-10~C18:1~(\pm 0.11) + 0.2 \times NDF~(\pm 0.05) + 0.03 \times DIM~(\pm 0.004)~(RMSE = 2.7; R2 = 0.77)$		
20	Milk composition + diet composition + dairy performance animal characteristics	$\begin{array}{l} -10.8 \; (\pm 6.08) \; + \; 6.6 \; \times \; iso \; C16:0 \; (\pm 2.66) \; - \; 0.4 \; \times \; [trans-10+trans-11 \; C18:1] \; (\pm 0.10) \; + \; 0.3 \; \times \; NDF \; (\pm 0.06) \; + \; 1.8 \; \times \; mllk \; fat \; (\pm 0.32) \; + \; 2. \; \times \; mllk \; protein \; (\pm 0.76) \; - \; 1.7 \; \times \; milk \; lactose \; (\pm 0.91) \; + \; 0.02 \; \times \; BW \; (\pm 0.01) \; + \; 0.01 \; \times \; DIM \; (\pm 0.003) \; (RMSE = 2.7; \; R^2 = 0.72) \end{array}$		

Production (g/giorno per vacca)

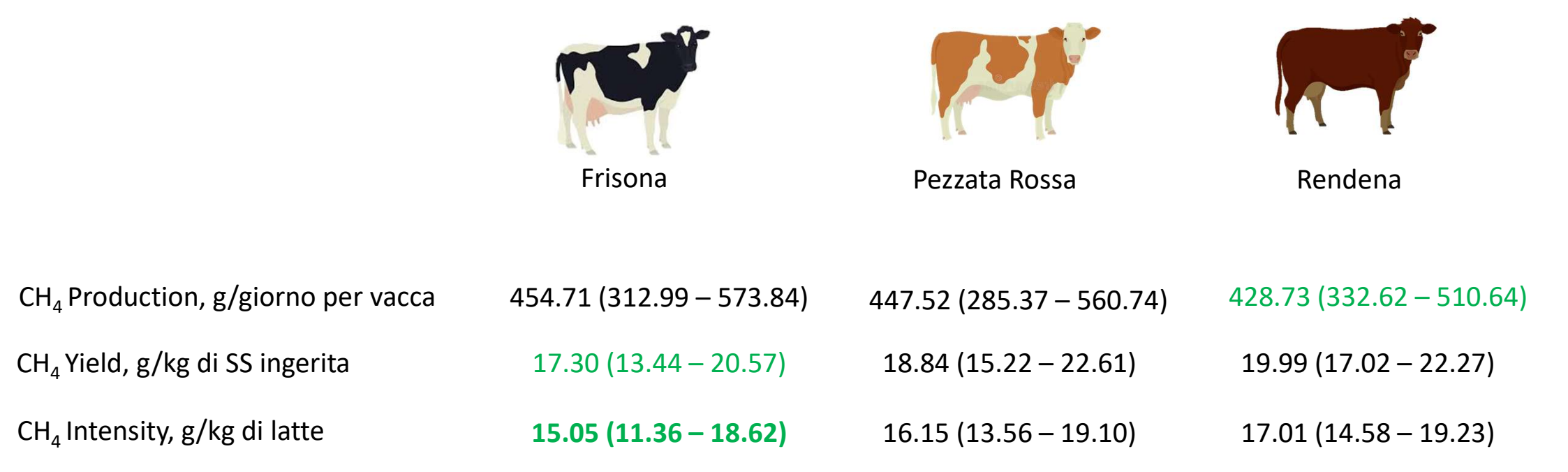
```
 \begin{array}{lll} & \text{(RMSE} = 57.3; \ R^2 = 0.88) \\ & \text{Milk composition} \\ & + \ \text{intake} + \ \text{dairy} \\ & \text{performance} \end{array} \\ & \begin{array}{lll} & \text{(RMSE} = 57.3; \ R^2 = 0.88) \\ & -54.9 \times \underline{cis\text{-}11\ \text{C}18:1}\ (\pm 18.60) - 9.7 \times \underline{trans\text{-}10\ \text{C}18:1}\ (\pm 3.58) - 37.1 \\ & \times \underline{trans\text{-}11, cis\text{-}15\ \text{C}18:2}}\ (\pm 6.63) + 15.7 \times \underline{DMI}\ (\pm 1.05) + 31.2 \times \underline{milk} \\ & \\ & \text{(RMSE} = 57.3; \ R^2 = 0.89) \end{array}
```

Quantitativo di acidi grassi

Ingestione di sostanza secca

Quantitativo di grasso nel latte

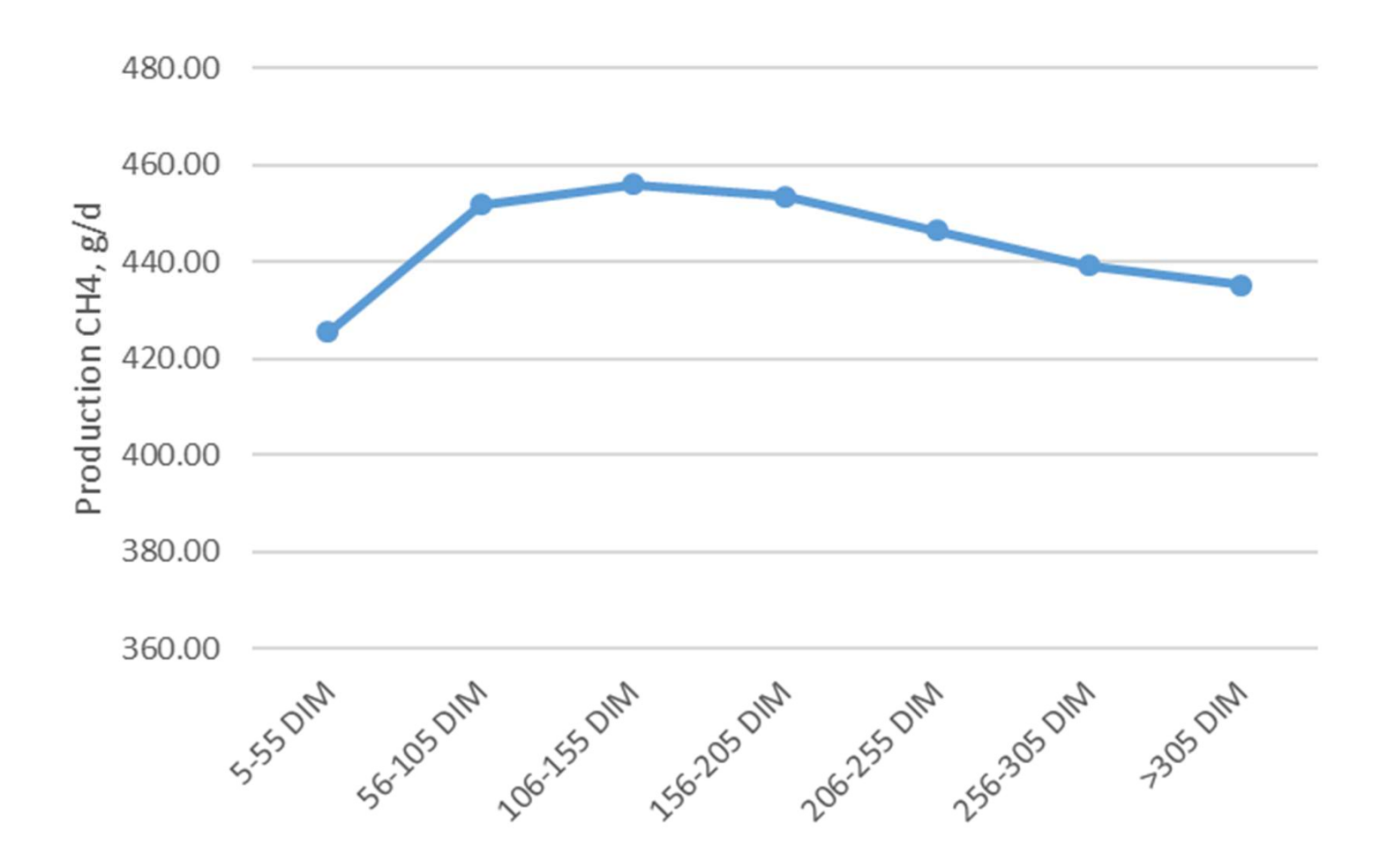
Medie stimate per l'effetto fisso RAZZA



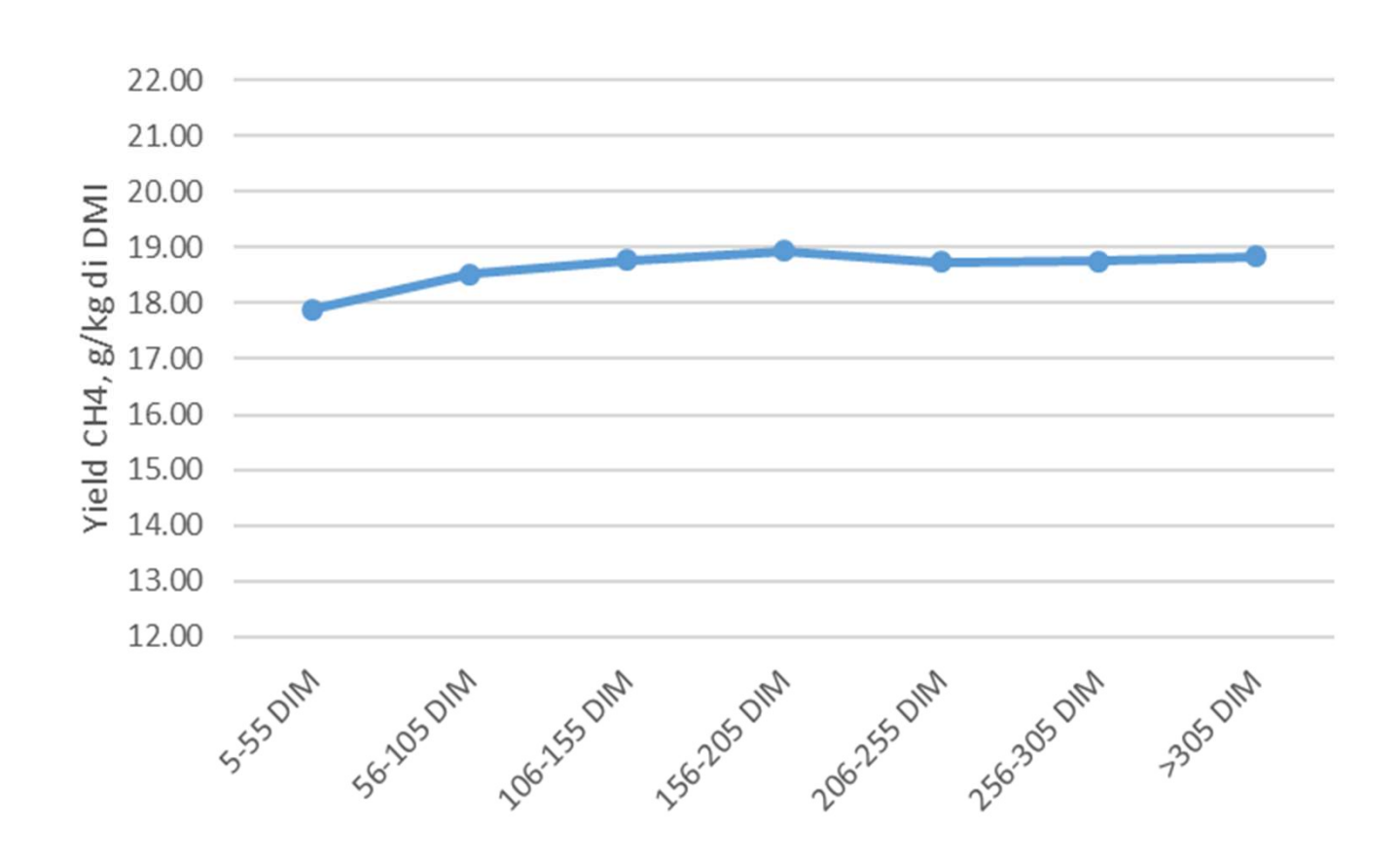
Medie stimate per l'effetto fisso ORDINE DI PARTO

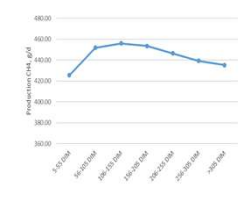
	1	2	≥3
CH ₄ Production, g/giorno per vacca	435.37 (285.37 – 531.45)	459.33 (315.78 – 573.58)	459.58 (335.41 – 573.84)
CH ₄ Yield, g/kg di SS ingerita	15.38 (12.86 – 19.23)	15.52 (11.68 – 19.05)	15.44 (11.35 – 19.10)
CH ₄ Intensity, g/kg di latte	17.79 (13.44 – 22.08)	17.94 (13.55 – 21.96)	17.84 (13.52 – 22.61)

Medie stimate per l'effetto fisso STADIO DI LATTAZIONE

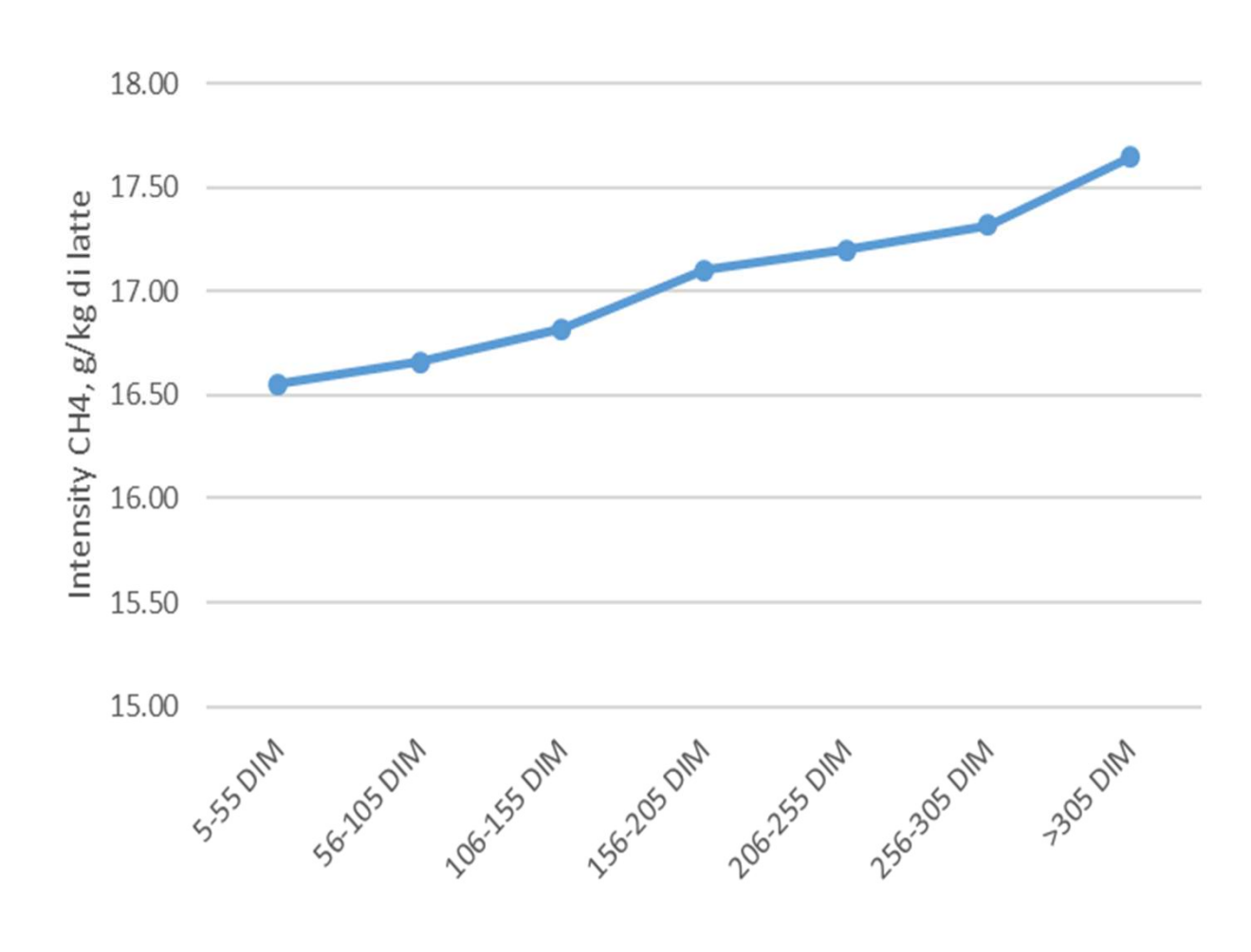


Medie stimate per l'effetto fisso STADIO DI LATTAZIONE



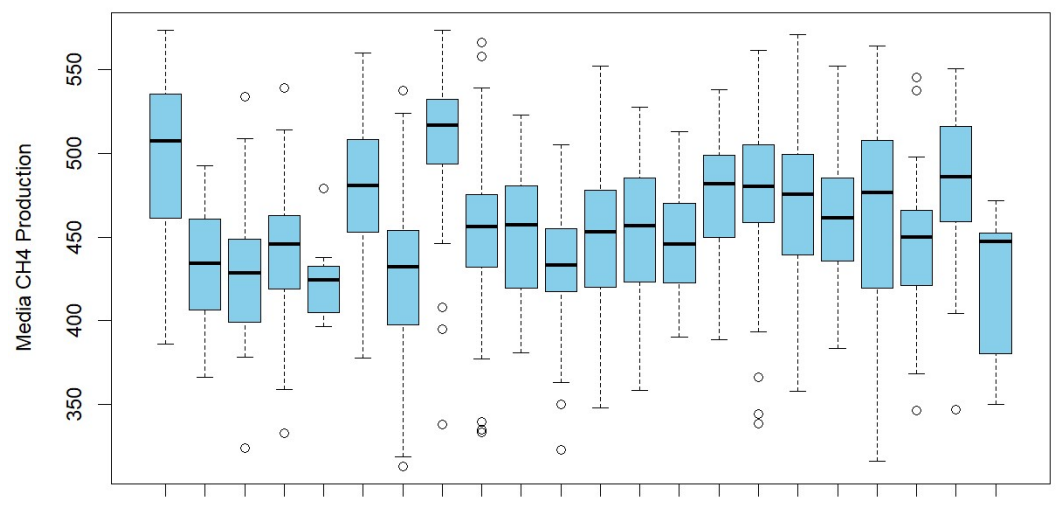


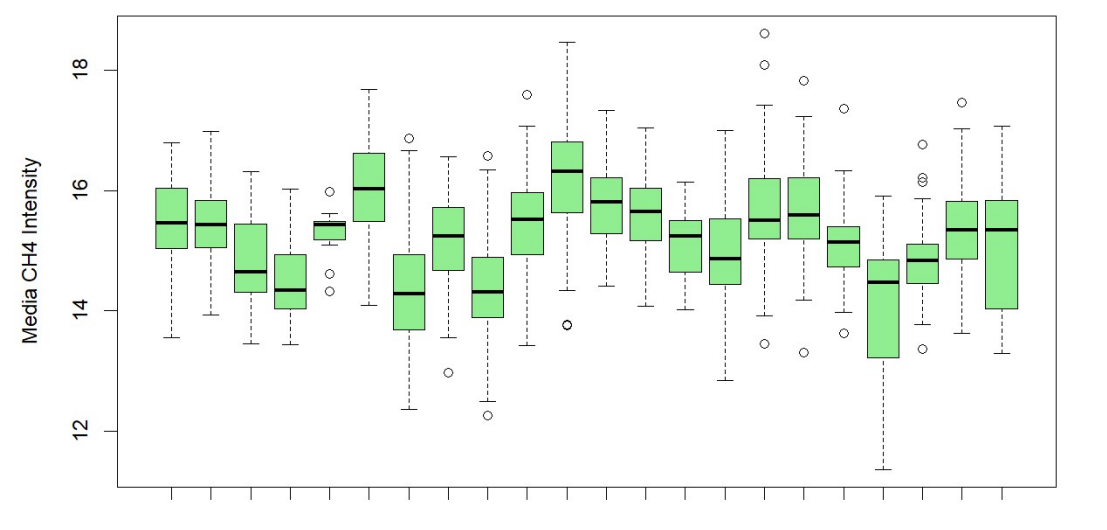
Medie stimate per l'effetto fisso STADIO DI LATTAZIONE

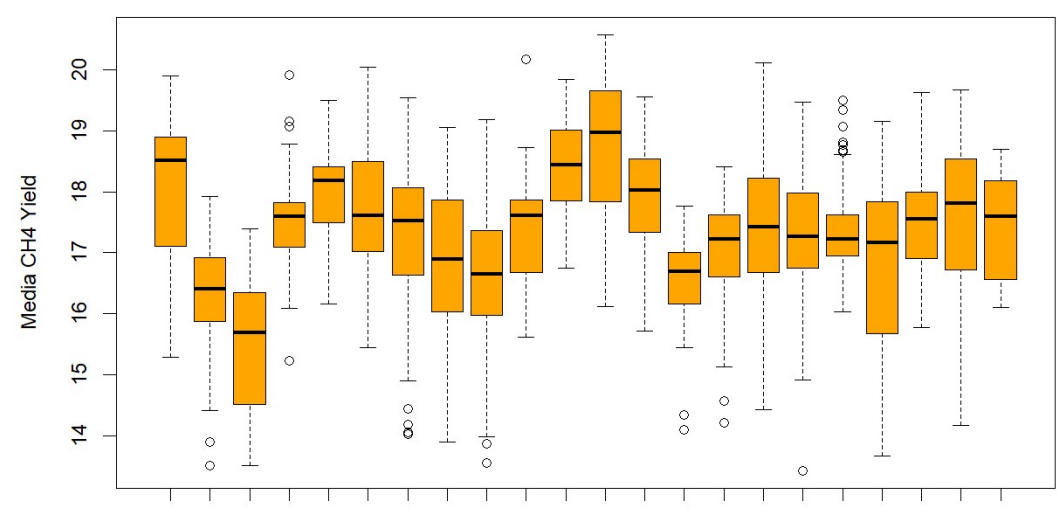




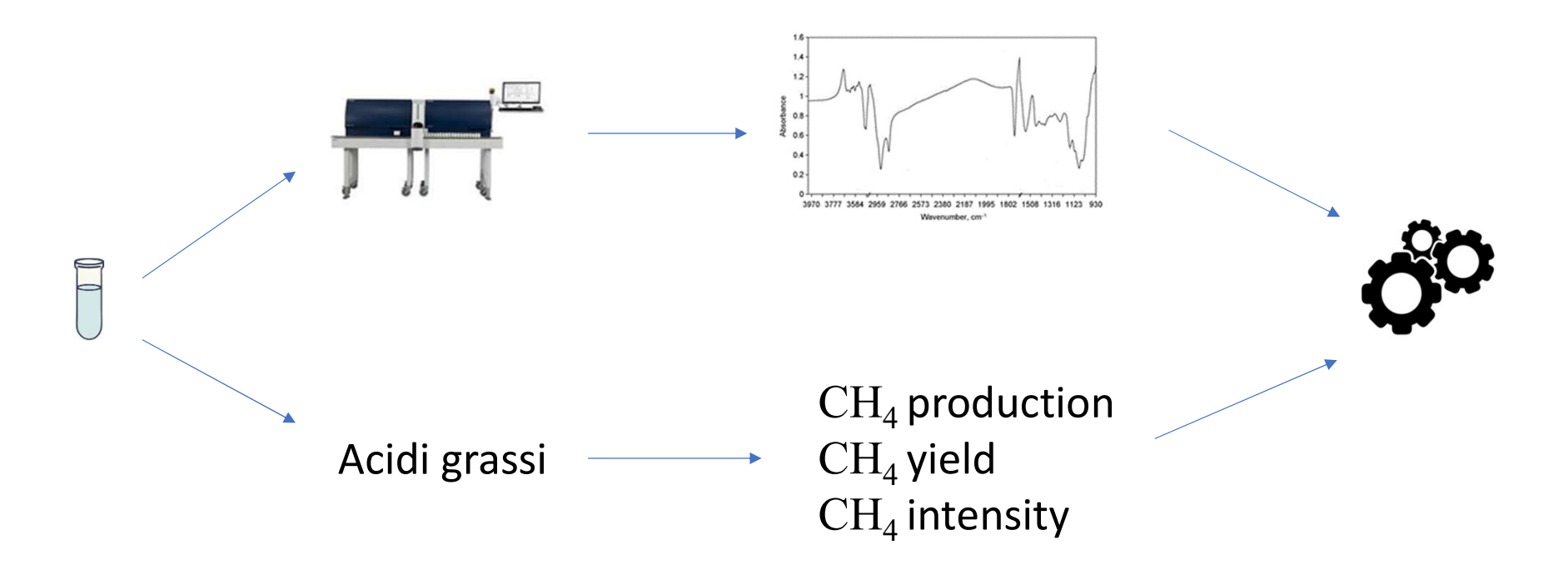
Produzione di metano entro azienda







Predizione dei fenotipi di metano con l'infrarosso

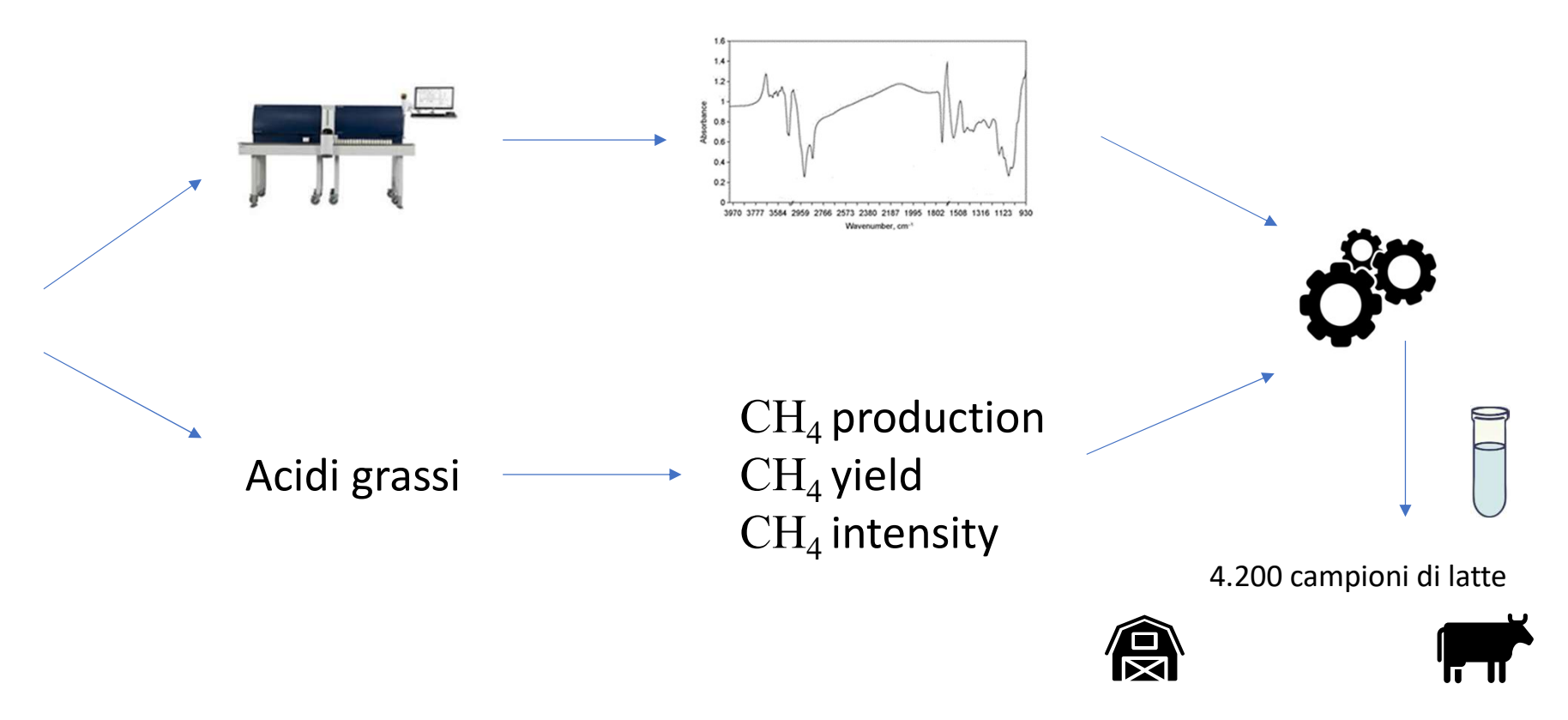


Predizione dei fenotipi di metano con l'infrarosso

 CH_4 Yield, g/kg di SS ingerita \longrightarrow R^2 tra 0.33 a 0.68

 CH_4 Intensity, g/kg di latte \longrightarrow R² tra 0.32 a 0.98

Predizione dei fenotipi di metano con l'infrarosso



50 allevamenti Frisona, Pezzata Rossa, Rendena

Conclusioni

- Il progetto ha permesso lo studio fenotipico e genetico della produzione di metano (stimata per via indiretta) nella popolazione di vacche da latte (HF, PR, RE) in Veneto.
- I fenotipi raccolti mostrano una adeguata variabilità per obiettivi di miglioramento genetico e sono nelle mani delle Associazioni Nazionali Allevatori (ANA) per il miglioramento genetico a livello di popolazione.
- Il progetto ha permesso lo sviluppo di modelli di predizione per la produzione di metano basati sulla tecnologia (IR – Milkoscan) garantendo una potenziale continuità nelle raccolta di questi fenotipi con la possibilità di proporre una stima delle emissioni di metano negli allevamenti di vacche da latte nel Veneto.



Prof. Massimo De Marchi

 $\underline{massimo.demarchi@unipd.it}$